

بررسی تاثیر مشخصه‌های فنی مصالح سنگی بر میزان تراکم لایه‌ی اساس به روش سطح پاسخ

علمی - پژوهشی

میلاد راستی، دانش آموخته کارشناسی ارشد، دانشکده عمران، دانشگاه یزد، یزد، ایران

محمدمهری خبیری^{*}، دانشیار، دانشکده عمران، دانشگاه یزد، یزد، ایران

مجتبی رجبی بهاء‌آبادی، استادیار، دانشکده عمران، دانشگاه یزد، یزد، ایران

^{*}پست الکترونیکی نویسنده مسئول: mkhabiri@yazd.ac.ir

دریافت: ۱۴۰۱/۰۵/۲۷ - پذیرش: ۱۴۰۱/۱۰/۱۵

صفحه ۱۶۴-۱۴۷

چکیده

یکی از اساسی‌ترین مسائل در راهسازی، رساندن میزان دانسیته و مقاومت لایه‌های مصالح سنگی به میزان مطلوب است؛ چراکه این لایه‌ها نباید در اثر تنفس‌های وارده ناشی از عبور بار تغییر شکل دهند و باید توانایی تحمل و انتقال بار از لایه‌های بالاتر به پایین‌تر را داشته باشند. برای این منظور باید لایه‌های مختلف روسازی را تا حد قابل قبولی به وسیله غلتک‌ها متراکم نمود از طرف دیگر عملکرد قشر سستکانه‌ای روسازی که به شدت مؤثر بر عملکرد کل روسازی است، تحت تأثیر میزان تراکم آن هاست. از این‌رو، بررسی عوامل مؤثر بر میزان تراکم قشر سستکانه‌ای روسازی ازجمله اساس بسیار حائز اهمیت است؛ بدین‌جهت، این پژوهش با بررسی تأثیر مشخصات مصالح لایه اساس بر میزان تراکم آن به کمک روش سطح پاسخ انجام شده است. بدین‌منظور خصوصیات مصالح سنگی مؤثر بر تراکم شامل پارامترهای درصد رطوبت، دانسیته خشک، درصد رطوبت بینه، ضخامت لایه‌ی اساس، بیشینه دمای محیط، کمینه دمای محیط، دامنه خمیری، تمیزی مصالح و ضربیت یکنواختی دانه‌بندی مصالح از شیوه‌های آزمایشگاهی مربوط به پرتوئرهای دهافان، کوھپایه و شهرکرد استخراج شد و با نرم‌افزار Design Expert مورد بررسی قرار گرفت. نتایج بیانکر آن است که میزان تراکم لایه اساس با دانسیته خشک آزمایشگاهی، ضخامت لایه، حداکثر دما، دامنه خمیری و تمیزی رابطه عکس و با حداقل دما، ضربیت یکنواختی رابطه مستقیم دارد. همچنین، نتایج نشان می‌دهد که افزایش درصد رطوبت تا حدی باعث افزایش میزان تراکم می‌شود. علاوه بر این، با کمک این نرم‌افزار رابطه میان پارامترهای مختلف با میزان تراکم تعیین شد.

واژه‌های کلیدی: تراکم، خصوصیات مصالح، روش سطح پاسخ، لایه‌ی اساس، عملکرد روسازی

۱- مقدمه

کیفیت آن‌ها بسیار مورد توجه قرار گرفته است (Penkov et al., 2019) ساختار روسازی راه متشکل از چندین لایه است که شامل خاک بستر، لایه زیراساس، اساس و رویه است. عملکرد هر یک از این لایه‌ها، ازجمله لایه اساس، تأثیر بسیار در عملکرد کلی ساختار روسازی دارد. مصالح سنگی یا سنگی

امروزه راه‌ها به عنوان رگ‌های شریانی کشورها شناخته می‌شوند؛ چراکه رشد اقتصادی، اجتماعی، فرهنگی و غیره بدون وجود راه‌ها ممکن نخواهد بود (Khabiri & Fard, 2021) و این در حالی است که امروزه با افزایش جمعیت و درنتیجه افزایش نیاز به حمل و نقل، اهمیت راه‌ها و همچنین

استیسیته تأثیر چشمگیری بر کاهش میزان تنش‌های حاصل از بارگذاری و عملکرد روسازی دارد (حیدری فیروزآبادی و خیری، ۱۳۹۶). عاملی و همکاران (۱۳۹۷) به بررسی تأثیر استفاده از مصالح بازیافتی در خصوصیات مکانیکی بتن غلتکی نظری مقاومت فشاری و مقاومت کششی آن پرداختند. بر اساس نتایج مطالعه عاملی و همکاران، جایگزینی مصالح بازیافتی در بتن غلتکی باعث کاهش درصد جذب آب و حداکثر چگالی بتن و در نتیجه باعث افزایش کارایی و تراکم بتن غلتکی می‌گردد. همچنین، طبق نتایج مطالعه مذکور، استفاده از آسفالت بازیافتی به اندازه بهینه باعث بهبود مقاومت فشاری و کششی و درنهایت باعث بهبود عملکرد بتن غلتکی می‌شود (عاملی و همکاران، ۱۳۹۷). از آنجاکه دانه‌بندی مصالح سنگی یکی از ویژگی‌های بسیار مهم ترکیب سنگدانه‌های آسفالت است، برخی از محققین نیز تأثیر دانه‌بندی مصالح سنگی بر عملکرد آسفالت را مورد ارزیابی قراردادند. نتایج این تحقیق بیانگر آن بود که دانه‌بندی سنگدانه به طور قابل توجهی تقریباً بر تمام عملکردهای روسازی تأثیر می‌گذارد؛ از این‌رو، در روش طراحی مبتنی بر عملکرد برای مخلوط آسفالت باید (Fang et al., 2019) در مطالعه‌ای، نیز اثر پاسخ در برابر بارگذاری و مشخصات مکانیکی مصالح اساس بر عملکرد خستگی روسازی بلوکی بتنی را موردمطالعه قراردادند و دریافتند که تأثیر مدول الاستیسیته لایه اساس ثبت شده باسیمان، در تعداد تکرار بارگذاری مجاز کمتر از ۵ درصد است؛ بنابراین، اصلاح مشخصات فنی این لایه متأثر از ضخامت و مقاومت فشاری این لایه است. همچنین نتایج مطالعه پیشگفته نشان داد که تغییرات دمایی در لایه اساس ثبت شده با قیر، تأثیر زیادی در کرنش‌های کششی کوچک دارد؛ لذا، مشخصات اساس می‌تواند تأثیر قابل توجهی بر عملکرد روسازی داشته باشد (خیری و بلوج سیرگانی، ۱۳۹۸). در پژوهشی دیگر با اشاره به اینکه بررسی تأثیرات مشخصات مختلف اساس بر عملکرد روسازی از زمانی که انواع مختلفی از لایه‌های اساس (اساس سنگدانه‌ای، اساس قیری و اساس ثبت شده باسیمان و غیره) در ساختار روسازی استفاده می‌شود، ضروری است؛ به بررسی ویژگی‌های لایه‌ی اساس برای طراحی مکانیکی-تجربی روسازی پرداخته‌اند. آن‌ها با بررسی مدول برجهندگی، نوع مصالح، ضخامت اساس، دانه‌بندی سنگدانه و رطوبت یافتن

شکسته با مشخصات معین که بر روی قشر زیراساس یا بستر روسازی راه پخش شده و با رطوبت مناسب کوبیده شوند، قشر اساس نامیده می‌شود (Su et al., 2017; Van Niekerk et al., 2002).

عملکرد لایه‌های تشکیل‌دهنده روسازی به شدت بر عملکرد روسازی موثر بوده و وابسته به خصوصیات مصالح سازنده آن است (Hu et al., 2018; Thai et al., 2021). از این‌رو، مطالعات متعددی در خصوص تأثیر خصوصیات مصالح بر عملکرد لایه‌های تشکیل‌دهنده روسازی انجام گرفته است. ولی زاده و کمررودی (۱۳۹۴) با بیان اینکه لایه اساس روسازی‌های انعطاف‌پذیر نقش سازه‌ای مهمی در عملکرد کلی ساختار روسازی ایفا می‌کنند و ضریب نفوذپذیری یکی از مهم‌ترین خصوصیت لایه اساس است، به ارزیابی تأثیر ویژگی‌های مصالح سنگی ثبت شده بر ضریب نفوذپذیری لایه اساس پرداختند. در این پژوهش به‌منظور تعیین ضریب نفوذپذیری لایه اساس از آزمایش نفوذپذیری با بار ثابت استفاده شد و بر اساس آن، اثر عوامل مختلف از جمله مقدار دامنه خمیری و گردگوشگی مصالح بر ضریب نفوذپذیری بررسی شد. همچنین در مطالعه مذکور، آزمایش نفوذپذیری برای مصالح با درصد ریزدانه و دامنه خمیری مختلف و شن و ماسه با گردگوشگی متفاوت انجام گرفت. نتایج به دست آمده بیانگر آن است که با افزایش دامنه خمیری مصالح ریزدانه، ضریب نفوذپذیری مصالح سنگی کاهش می‌یابد و با افزایش میزان گردگوشگی شن و ماسه به اندازه‌ی ۲۵٪، ۵۰٪ و ۷۵٪، ضریب نفوذپذیری مصالح سنگی افزایش می‌یابد (ولی زاده و کمررودی، ۱۳۹۴). همچنین، محققین دیگر در مطالعه‌ای بابیان اینکه شن و ماسه پرمصرف‌ترین مصالح ساختمانی و راه‌سازی‌اند و حدود ۹۵ درصد آسفالت را شن و ماسه تشکیل می‌دهد، به مقایسه تأثیر دانه‌بندی و مشخصه‌های فیزیکی مصالح سنگی بر کیفیت لایه‌های روسازی پرداختند. ایشان نتیجه گرفتند که دو عامل دانه‌بندی و مشخصات فیزیکی مصالح سنگی از مهم‌ترین و مؤثرترین پارامترها بر عملکرد روسازی است (سیدی مرغکی و همکاران، ۱۳۹۵). علاوه بر پژوهش‌های فوق، محققین دیگری، به مطالعه تأثیر تغییر مشخصات تراکم خاک بستر و اصطکاک بین لایه‌ای بر عکس العمل روسازی به روش عددی پرداختند. طبق نتایج این مطالعه، ویژگی‌های لایه‌ی خاک بستر از جمله مدول

بررسی تأثیر خصوصیات مصالح لایه اساس بر میزان تراکم لایه اساس می‌پردازد.

۲-روش تحقیق

همانطور که اشاره شد، هدف این پژوهش بررسی تأثیر خصوصیات مصالح لایه اساس بر میزان تراکم آن است؛ بدین منظور در این مطالعه ابتدا پارامترهای موثر بر تراکم با توجه به پژوهش‌های پیشین تعیین شد و سپس این پارامترها از شیوه‌های آزمایشگاهی سه پژوهه استخراج گردید. پارامترهای مذکور با کمک روش سطح پاسخ در محیط نرم افزار DESIGN EXPERT مورد بررسی قرار گرفت. در درامه در این بخش، ابتدا، روش سطح پاسخ به صورت خلاصه تشریح می‌شود. سپس، متغیرهای موثر بر تراکم لایه اساس که در این پژوهش مورد بررسی قرار گرفته‌اند تبیین می‌شوند. درنهایت، ضمن تشریح داده‌های مورد استفاده در مطالعه، تحلیل داده‌ها در نرم افزار تشریح می‌شود.

۲-۱-روش سطح پاسخ

روش سطح پاسخ، مجموعه‌ای از روش‌های ریاضی است که رابطه‌ی بین یک یا چند متغیر پاسخ را با چندین متغیر مستقل (موردمطالعه) تعیین می‌کند. این روش در سال ۱۹۵۱ توسط باکس و ویلسون معرفی شد تا به امروز نیز از آن به عنوان یکی از ابزارهای طراحی آزمایش استفاده می‌گردد (غفوری‌فرد، ۱۴۰۰). هرچند بسیاری این روش را به عنوان یک شبه مدل می‌دانند، مطالعاتی نظری مطالعه کرمی و همکاران روش سطح پاسخ را به عنوان یک روش قابل قبول در مقایسه با روش‌های سنتی مدل‌سازی نشان داده است (Karami et al., 2016).

۲-۲-تعیین پارامترهای مؤثر در تراکم لایه اساس

همان‌طور که در فصل دوم اشاره شد، قشر اساس دومین قشر از روسازی راه است که با مشخصات و ضخامت معین روی قشر زیراساس اجرا می‌شود و یکی از مهم‌ترین مشخصات آن، میزان تراکم آن است. از طرفی میزان تراکم این لایه به عوامل متعددی وابسته است که در این پژوهش بر اساس پژوهش‌های پیشین، پارامترهای مؤثر در تراکم لایه اساس به شرح زیر در نظر گرفته شد (Rahman et al., 2020.; Su et al., 2017; Thai et al., 2021;

که تمامی خصوصیات اساس بر عملکرد روسازی مؤثر است و عملکرد روسازی نسبت به تغییرات مدول برجهنگی و میزان رطوبت حساس‌تر است (Su et al., 2017). در پژوهشی دیگر با بیان اینکه رفتار مصالح لایه اساس به سبب خاصیت الاستوپلاستیکی در کوتاه‌مدت و طولانی‌مدت متفاوت است، تأثیر تراکم، رطوبت و ضخامت را بر رفتار لایه اساس مورد ارزیابی قرار داند. آن‌ها از آزمایش افت و خیز سنج ضربه‌ای قابل حمل (LWD) که معمولاً به منظور تعیین قدرت باربری لایه‌های غیرچسبنده روسازی مورداستفاده قرار می‌گیرد، برای بررسی اثر این سه پارامتر بر عملکرد اساس استفاده کردند. نتایج این تحقیق بیانگر آن است که با افزایش تراکم به میزان ۱۰ درصد و همچنین افزایش ضخامت لایه اساس به اندازه ۲۰ سانتی‌متر به میزان قابل توجهی مدول سطحی لایه افزایش و میزان افت و خیز آن کاهش می‌یابد. علاوه‌براین، نتایج پژوهش مذکور نشان داد که تغییرات رطوبت لایه تأثیر چندانی بر مدول افت و خیز لایه اساس ندارد (احدى و همکاران، ۱۳۹۸).

تحقیقین همچنین، به بررسی تأثیر مشخصات سنگدانه بر عملکرد سایش سطحی روسازی بتن غلتکی پرداختند و با مقایسه استفاده از سنگدانه‌های سخت، دانه‌بندی و طرح اختلاط متفاوت در بتن، دریافتند که عواملی همچون نوع و جنس کانی‌ها و عناصر تشکیل‌دهنده مصالح سنگی تأثیر بسزایی بر مقاومت سایشی بتن غلتکی دارد (فتحی و همکاران، ۴۰۰). گو و همکاران (۲۰۲۱) نیز تأثیر به کارگیری سنگدانه سرباره فولادی بر عملکرد اساس را ارزیابی کردند و نتیجه گرفتند که سرباره فولاد بافت سطحی بهتری نسبت به سنگدانه‌های طبیعی دارد. همچنین خواص فیزیکی از جمله تراکم، مسطح بودن و مقاومت فشاری بهتری را نسبت به سنگدانه معمولی داراست و باعث بهبود عملکرد اساس می‌گردد (Gao et al., 2021). همان‌طور که اشاره شد، تاکنون مطالعات متعددی در خصوص تأثیر مشخصات مصالح لایه اساس بر عملکرد آن انجام‌شده است؛ اما هیچ‌کدام آن‌ها به صورت جامع به بررسی تأثیر خصوصیات مصالح لایه اساس بر میزان تراکم نپرداختند. از آنچاکه عملکرد قشر سنگدانه‌ای روسازی بهشدت تحت تأثیر قفل و بست بین سنگدانه‌های بنابراین عملیات تراکم در راه‌سازی بسیار حائز اهمیت است (Van Niekerk et al., 2000).

-شاخص خمیری (*PI*): شاخصی است که بیانگر میزان این شاخص بیانگر محدوده‌ای از محتوای آب را نمایش می‌دهد که خاک خاصیت خمیری خود را حفظ می‌کند.

-تمیری مصالح (*SE*): این پارامتر بر اساس آزمایش همارز ماسه‌ای تعیین می‌شود.

-ضریب یکنواختی دانه‌بندی مصالح (*Cu*): ضریب یکنواختی به صورت نسبت D_{60} به D_{10} تعریف می‌شود.

۳-۳- استخراج دادها از شیوه‌های آزمایشگاهی
پس از تعیین پارامترهای مؤثر بر میزان تراکم لایه اساس، داده‌های مربوطه از شیوه‌های آزمایشگاهی مربوط به سه پروژه‌ی دهاقان، کوهپایه، شهرکرد استخراج شد که تعداد داده‌های حاصله برای هر پارامتر ۲۷۷ عدد بود. علت انتخاب این پروژه‌ها متفاوت بودن شرایط آب و هوایی و فنی برای در نظر گرفتن شرایط مختلف بوده است. جدول ۱ و شکل ۱ به ترتیب مشخصات پروژه‌ها و محل آن‌ها را نشان می‌دهد.

-درصد رطوبت (*M*): میزان رطوبتی که به صورت طبیعی در مصالح اساس در محل پژوهه وجود دارد.

-دانسیته خشک (*D*): دانسیته مصالح هنگامی که رطوبتی در آن وجود ندارد.

-درصد رطوبت بهینه (*O*): مقدار آبی است که به ازای آن، خاک در اثر وارد آمدن انرژی، تراکم بیشتری پیدا خواهد نمود؛ به عبارتی دیگر، خاک در درصد رطوبت بهینه بیشترین وزن مخصوص خشک را دارد.

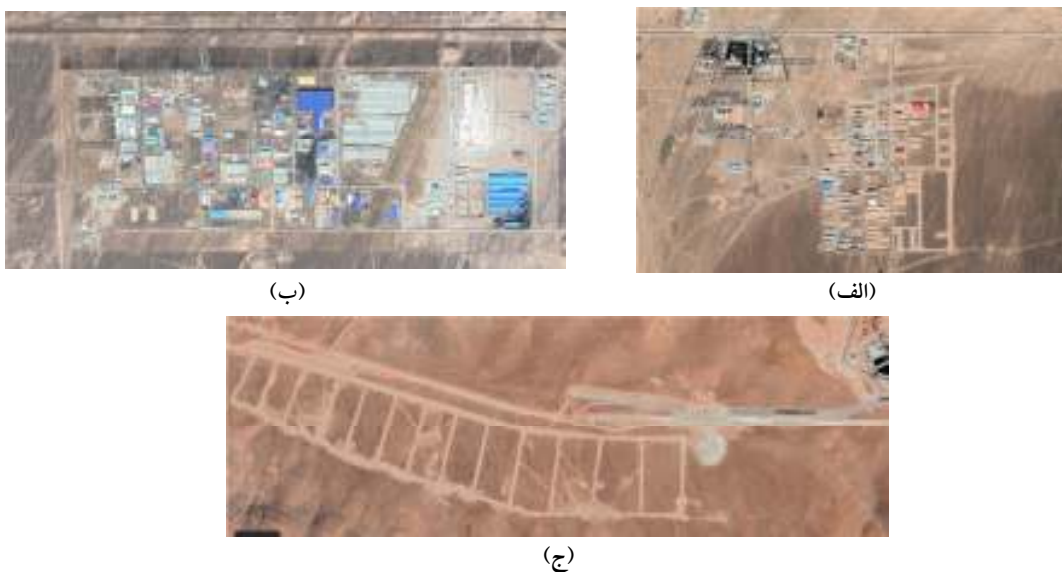
-ضخامت (*T*): ضخامت لایه اساس که در مرحله طراحی روسازی تعیین می‌شود.

-بیشینه دمای محیط (*T_{Max}*): بیشترین دما محیط احداث پژوهه در طول سال.

-کمینه دمای محیط (*T_{Min}*): کمترین دما محیط احداث پژوهه در طول سال.

جدول ۱. مشخصات پروژه‌های مورد بررسی

| نام پروژه | پروژه سایت خدماتی و قسمتی از شهرک صنعتی دهاقان | پروژه عملیات اساس و آسفالت قسمتی از معابر شهرک صنعتی کوهپایه | پروژه تهیه مصالح و اجرای جاده ورودی شهرک صنعتی شهرکرد |
|--|--|--|---|
| کارفرما | شرکت شهرک‌های صنعتی استان اصفهان | شرکت شهرک‌های صنعتی استان اصفهان | شرکت شهرک‌های صنعتی استان چهارمحال و بختیاری |
| مشاور: | شرکت مهندسین مشاور جامع کار سپاهان | شرکت مهندسین مشاور جامع کار سپاهان | دستگاه نظارت شرکت شهرک‌های استان چهارمحال و بختیاری |
| پیمانکار | شرکت مهندسی رهاب گستر پرديس | شرکت مهندسی رهاب گستر پرديس | شرکت مهندسی رهاب گستر پرديس |
| مبلغ پیمان (ریال) | ۲۸۹,۴۸۹,۴۳۹,۳۰ | ۲۹,۹۵۸۳۲,۲۶۳ | ۵۶,۸۶۸,۳۳۱,۴۶۳ |
| مدت پیمان (ماه) | ۷ | ۹ | ۱۲ |
| تاریخ شروع کار | ۱۳۹۹/۷/۲۰ | ۱۳۹۸/۱۰/۲۴ | ۱۳۹۹/۷/۲۹ |
| مقدار مصالح اساس کارشده در پروژه (مترمکعب) | ۴,۹۹۴ | ۶,۴۸۴ | ۱۲,۶۷۳ |



شکل ۱. الف- پروژه سایت خدماتی و قسمتی از شهرک صنعتی دهاقان ب- پروژه عملیات اساس و آسفالت قسمتی از معاابر شهرک صنعتی کوهپایه ج- پروژه تهیه مصالح و اجرای جاده ورودی شهرک صنعتی شهرکرد

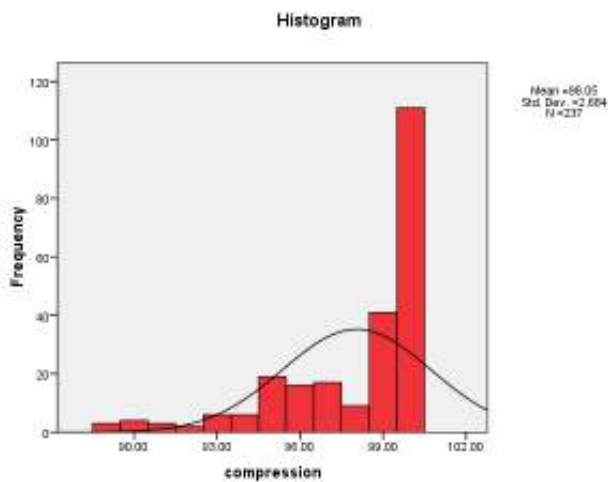
ازین رو در این بخش به بررسی تأثیر یک به یک این پارامترها بر میزان تراکم پرداخته می شود.

۴- تحلیل داده‌ها با نرم افزار DESIGN EXPERT

همانطور که اشاره شد، پس از تعیین پارامترهای مؤثر بر میزان تراکم لایه ای اساس و استخراج داده‌ها از شبتهای آزمایشگاهی، این داده‌ها برای تحلیل و بررسی وارد نرم افزارهای DESIGN EXPERT10 شدند. لازم به ذکر است که در این نرم افزار، میزان تراکم به عنوان پارامتر وابسته و پارامترهای درصد رطوبت، دانسیته خشک، درصد رطوبت بهینه، ضخامت، بیشینه و کمینه دمای محیط، دامنه خمیری، تمیزی مصالح و ضربیت یکنواختی دانه‌بندی مصالح به عنوان پارامترهای وابسته تعریف شدند.

۳- نتایج و بحث

همان طور که اشاره شد، به منظور بررسی هر چه دقیق‌تر تأثیر پارامترهای مختلف (پارامترهای درصد رطوبت، دانسیته خشک، درصد رطوبت بهینه، ضخامت لایه ای اساس، بیشینه دمای محیط، کمینه دمای محیط، دامنه خمیری، تمیزی مصالح و ضربیت یکنواختی دانه‌بندی مصالح) بر میزان تراکم لایه ای اساس، از نرم افزار DESIGN EXPERT استفاده گردید.



شکل ۲. نمودار توزیع فراوانی متغیر وابسته (میزان تراکم لایه اساس)

جدول ۲. شاخص‌های آماری متغیر وابسته (میزان تراکم)

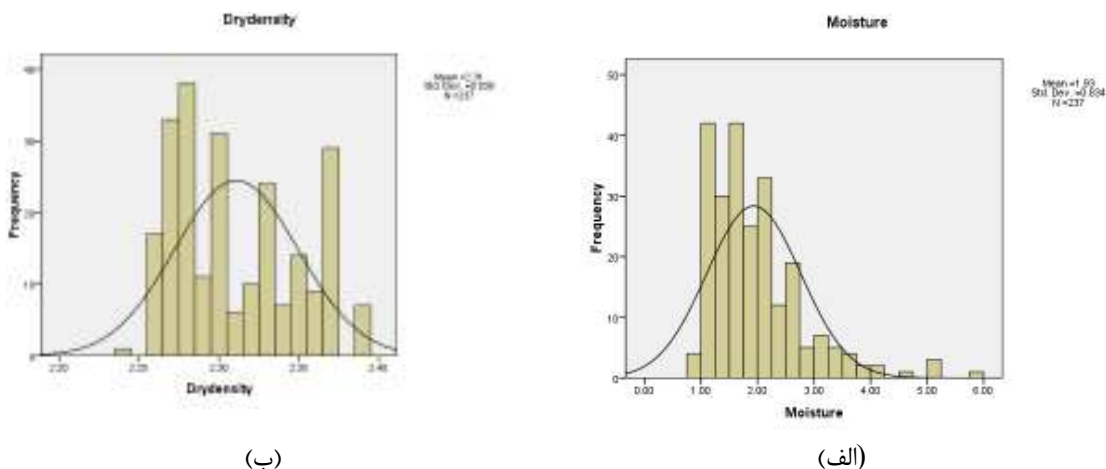
| تعداد داده‌ها | میانگین | میانه | مد | انحراف معیار | واریانس | صدکها | چولگی | کشیدگی | -۱۰۵۰۱ |
|---------------|---------|-------|-----|--------------|---------|-------|-------|--------|--------|
| ۲۳۷ | ۹۸۰۰۴۶۴ | ۹۹ | ۱۰۰ | ۲.۶۸۴۳ | ۷.۲۰۵ | | | | ۱۰۶۵۱ |
| | | | | | | | | | ۸۹ |
| | | | | | | | | | ۱۰۰ |
| | | | | | | | | | ۹۶.۰۵ |
| | | | | | | | | | ۹۹ |
| | | | | | | | | | ۱۰۰ |

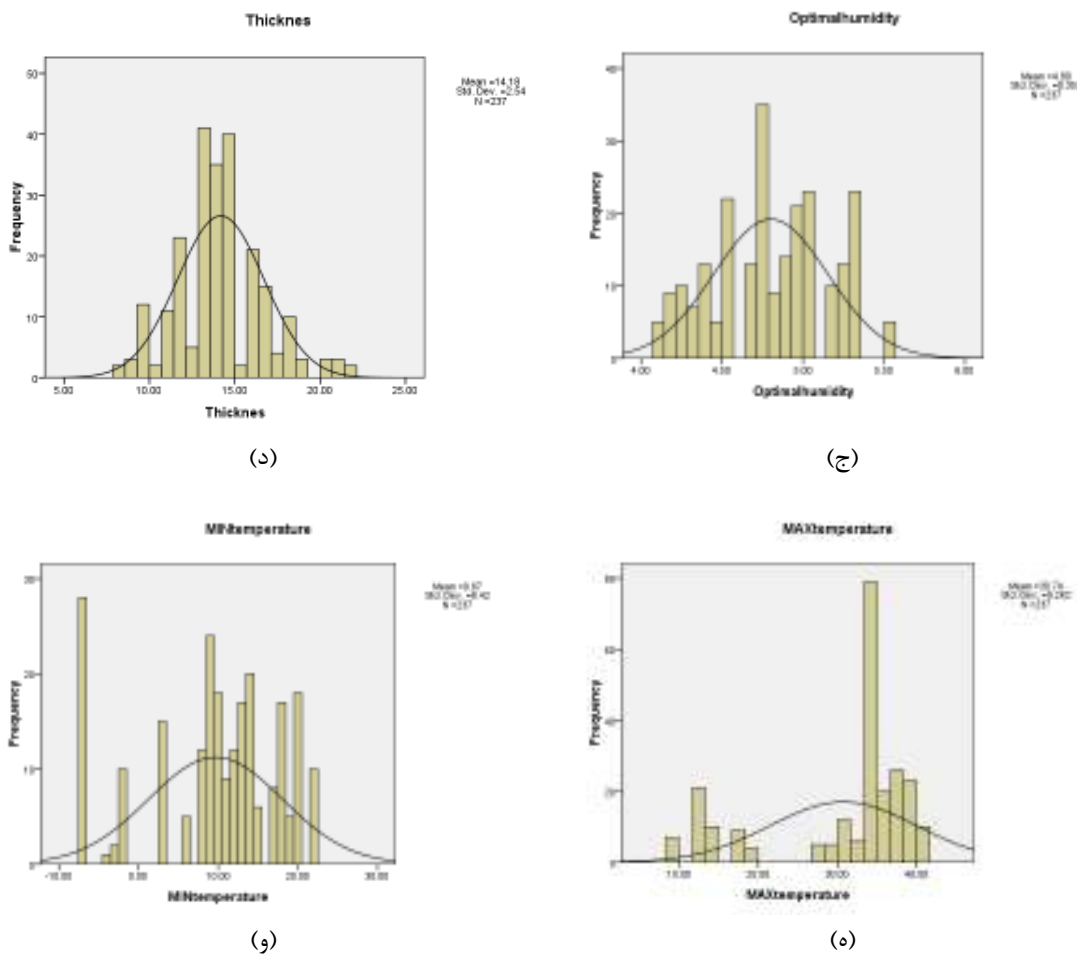
در شکل ۳ می‌توان محدوده‌ای که بیشترین فراوانی داده‌ها در آن قرار دارد را یافت؛ به عنوان مثال با توجه به شکل ۳-الف می‌توان دریافت که بیشتر داده‌های درصد رطوبت بین ۱/۵ تا ۲ می‌توان دریافت که مقادیر چولگی و کشیدگی ارایه شده درصد است. با توجه به مقادیر چولگی و کشیدگی ارایه شده در جدول ۳ پارامترهای دانسیته خشک، درصد رطوبت بهینه، ضخامت لایه اساس، بیشینه دمای محیط، کمینه دمای محیط، دامنه خمیری، تمیزی مصالح و ضربیب یکنواختی دانه‌بندی مصالح به عنوان پارامترهای مستقل و مؤثر بر میزان تراکم در نظر گرفته شد. در شکل ۳ نمودار توزیع فراوانی این پارامترها ارائه شده است. در جدول ۳ نیز شاخص‌های آماری این پارامترها به نمایش گذاشته شده است. از نمودارهای ارایه شده

همانطور که اشاره شد، در این تحقیق پارامترهای درصد رطوبت، دانسیته خشک آزمایشگاهی، درصد رطوبت بهینه، ضخامت لایه اساس، بیشینه دمای محیط، کمینه دمای محیط، دامنه خمیری، تمیزی مصالح و ضربیب یکنواختی دانه‌بندی مصالح به عنوان پارامترهای مستقل و مؤثر بر میزان تراکم در نظر گرفته شد. در شکل ۳ نمودار توزیع فراوانی این پارامترها ارائه شده است. در جدول ۳ نیز شاخص‌های آماری این پارامترها به نمایش گذاشته شده است. از نمودارهای ارایه شده

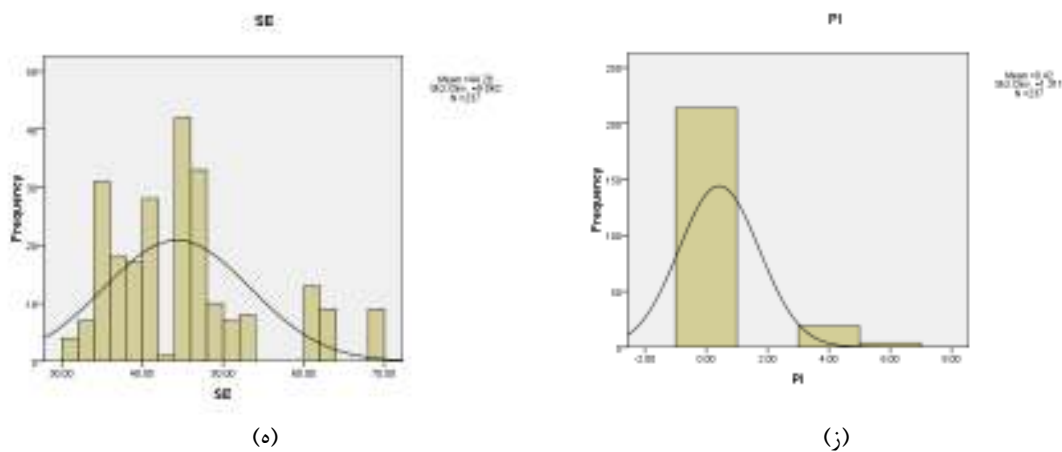
جدول ۳. شاخص‌های آماری متغیر مستقل

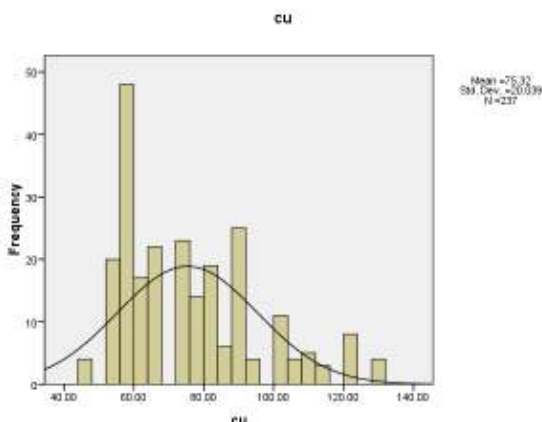
| M | D | O | T | T _{max} | T _{Min} | PI | SE | Cu | آماره/متغیر |
|---------|---------|---------|----------|------------------|------------------|---------|----------|----------|---------------|
| ۲۳۷ | ۲۳۷ | ۲۳۷ | ۲۳۷ | ۲۳۷ | ۲۳۷ | ۲۳۷ | ۲۳۷ | ۲۳۷ | تعداد داده ها |
| ۱,۹۳۳۳ | ۲,۳۱۰۸ | ۴,۸۰۱۳ | ۱۴,۰۱۷۹۵ | ۳۰,۰۷۳۸۴ | ۹,۶۷۰۹ | ۰/۴۲۱۹ | ۴۴,۰۲۸۲۷ | ۷۵,۳۲۳۵ | میانگین |
| ۱,۸ | ۲,۰۳ | ۴,۷۶ | ۱۴ | ۳۵ | ۱۱ | .. | ۴۴ | ۷۴,۱۵ | میانه |
| ۱,۱ | ۲,۰۲۸ | ۵,۰۳ | ۱۴ | ۳۵ | -۷ | .. | ۴۴ | ۶۱,۰۸۶ | مد |
| ۰/۸۳۳۵۳ | ۰/۰۳۸۶۶ | ۰/۳۵۲۱۵ | ۲۰,۰۴۰۰۷ | ۹,۰۲۶۲۱۴ | ۸,۶۴۲۰۲ | ۱,۰۳۱۱۳ | ۹۰,۰۶۱۹۵ | ۲۰۰,۰۳۸۶ | انحراف معیار |
| ۰/۶۹۰ | ۰/۰۰۱ | ۰/۱۲۴ | ۶,۰۴۵۲ | ۸۵,۷۸۷ | ۷۰,۹ | ۱,۰۷۲ | ۸۲۰,۱۱۹ | ۴۰۱,۰۵۴۵ | واریانس |
| ۱,۶۰۹ | ۰/۴۲۱ | ۰/۰۸۶ | ۰/۳۷۴ | -۱,۰۲۰۸ | -۰/۷۰۲ | ۲,۹۳۵ | ۰/۹۵۷ | ۰/۹۰۳ | چولگی |
| ۳,۷۷۲ | -۱,۰۱۰۸ | -۰/۷۷۵ | ۰/۴۸۶ | -۰/۰۱۹ | -۰/۰۳۹۴ | ۷,۰۲۴۲ | ۰/۳۸۴ | ۰/۰۸۱ | کشیدگی |
| ۰/۸ | ۲,۰۲۴ | ۴,۰۹ | ۸ | ۹ | -۷ | ۰ | ۳۱ | ۴۷,۰۵ | حداقل |
| ۰,۸ | ۲,۰۳۹ | ۰,۰۵۴ | ۲۲ | ۴۱ | ۲۲ | ۶ | ۶۸ | ۱۲۹,۷۶ | حداکثر |
| ۱,۳ | ۲,۰۲۸ | ۴,۰۵۶ | ۱۳ | ۲۹ | ۷ | .. | ۳۶ | ۵۹,۱۱ | ۲۵ |
| ۱,۸ | ۲,۰۳ | ۴,۰۷۶ | ۱۴ | ۳۵ | ۱۱ | .. | ۴۴ | ۷۴,۱۵ | ۵۰ |
| ۲,۳ | ۲,۰۳۴۵ | ۰,۰۳۵ | ۱۶ | ۳۶,۰۵ | ۱۰ | .. | ۴۷ | ۸۸,۶۷ | ۷۵ |





شکل ۳. نمودار توزیع فراوانی متغیرهای مستقل **الف**-درصد رطوبت ب-دانسیته خشک **ج**-درصد رطوبت بهینه د-ضخامت لایه‌ی اساس ه-ماکزیمم دمای هوا و-مینیمم دمای هوا





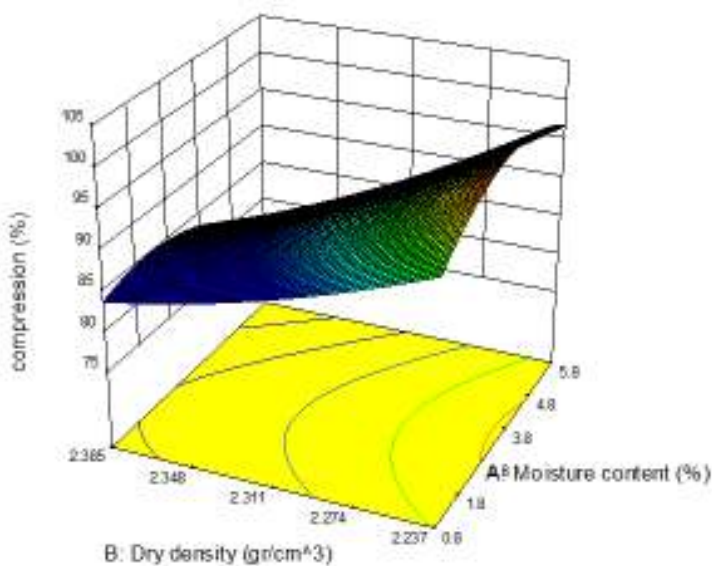
(ی)

ادامه شکل ۳. نمودار توزیع فراوانی متغیرهای مستقل ز-حد روانی ه-میزان تمیزی ی-ضریب یکنواختی

۳-۲- تأثیر درصد رطوبت و دانسیته خشک آزمایشگاهی مصالح بر میزان تراکم

دارد و اصطلاحاً آب باعث روغن کاری ذرات خاک می‌شود؛ اما در طرف مقابل اگر مقدار آب از یک میزان مشخص بیشتر شود، مقدار از انرژی تراکم را مستهله کرده است. همچنین، آب فضای خالی مصالح را پرکرده و مانع تراکم بیشتر می‌شود؛ در واقع در این حالت آب یک نقش ممانعت کننده در برابر تراکم دارد (امیرافشاری، ۱۳۹۰).

در شکل ۲ تأثیر هم‌زمان دو پارامتر درصد رطوبت مصالح و دانسیته خشک آزمایشگاهی بر میزان تراکم لایه‌ی اساس به نمایش گذاشته شده است. با توجه به شکل ۴، افزایش درصد رطوبت تا حدی باعث افزایش میزان تراکم می‌شود. به طور کلی دلیل این امر را می‌توان این‌گونه بیان کرد که در رطوبت‌های کم، آب باعث می‌شود تا میزان اصطکاک بین ذرات خاک دانه‌ای کم شود؛ در واقع در این حالت آب نقش روان کننده



شکل ۴. نمودار تأثیر درصد رطوبت و دانسیته خشک آزمایشگاهی مصالح بر میزان تراکم

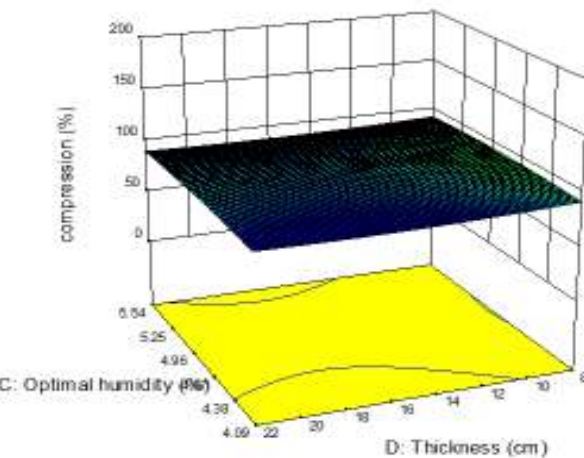
تقسیم دانسیته محل به دانسیته آزمایشگاهی است (امیرافشاری، ۱۳۹۰) و با افزایش دانسیته آزمایشگاهی، حاصل تقسیم دانسیته محل به دانسیته آزمایشگاهی، کاهش می‌یابد و در نتیجه میزان تراکم کاهش می‌یابد.

با توجه به شکل ۴ افزایش دانسیته خشک آزمایشگاهی باعث کاهش میزان تراکم می‌شود؛ درواقع دو پارامتر دانسیته خشک آزمایشگاهی و میزان تراکم رابطه عکس دارند. دلیل اینکه با افزایش دانسیته خشک آزمایشگاهی تراکم کاهش می‌یابد را اینگونه می‌توان بیان کرد که مبنای محاسبه میزان تراکم حاصل

۳-۲- تأثیر درصد رطوبت بهینه و میزان ضخامت لایه اساس بر میزان تراکم

از آنجاکه در این پژوهش مصالح دانه‌ای اساس مورد بررسی قرار گرفته و درواقع نوع خاک یکسان است، این پارامتر تأثیر چندانی بر میزان تراکم ندارد. علاوه بر این با توجه به شکل ۳ هرچه ضخامت لایه اساس بیشتر باشد، میزان تراکم کاهش می‌یابد؛ درواقع میزان تراکم خاک با ضخامت لایه رابطه عکس دارد و با صرف انرژی برابر، لایه‌های ضخیم کمتر متراکم می‌شوند. دلیل این مسئله نسبت پایین انرژی به وزن واحد در خاک‌های ضخیم است (شیرینی و همکاران، ۱۳۸۹).

در شکل ۵ تأثیر هم‌زمان دو پارامتر درصد رطوبت بهینه و میزان ضخامت لایه اساس بر میزان تراکم به نمایش گذاشته شده است. با توجه به شکل ۵ با افزایش میزان رطوبت بهینه، تراکم افزایش می‌یابد؛ اگرچه تغییرات آن قابل توجه نیست. این پارامتر به‌نوعی نشان‌دهنده نوع خاک است؛ یعنی هرچه اندازه ذرات خاک بزرگ‌تر باشد، میزان رطوبت بهینه کمتر است و در مقابل هرچه این مقدار بیشتر باشد بیانگر آن است که مصالح ریزدانه و دامنه خمیری آن بیشتر است (امیرافشاری، ۱۳۹۰).

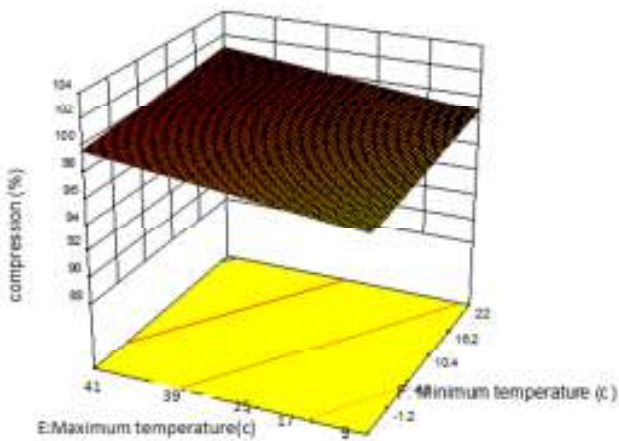


شکل ۵. نمودار تأثیر درصد رطوبت بهینه و میزان ضخامت لایه اساس بر میزان تراکم

۳-۳- تأثیر میزان ماکریم و مینیمم دمای هوای بر میزان تراکم

حداقل دمای هوای کاهش دما به زیر صفر موجب یخ‌زدگی لایه و با توجه به افزایش حجم آب درون لایه موجب کاهش دانسیته می‌گردد و در خصوص حداقل دما، افزایش دما موجب خشک شدن زودتر از موعد لایه و از دست دادن رطوبت (اختلاف بین رطوبت لایه و رطوبت بهینه) می‌گردد که این امر موجب کاهش دانسیته می‌گردد.

در شکل ۶ تأثیر هم‌زمان دو پارامتر ماکریم و مینیمم دمای هوای بر میزان تراکم به نمایش گذاشته شده است. همان‌طور که از شکل ۶ مشخص است، نوع آب و هوای منطقه که معمولاً با ماکریم و مینیمم دمای هوای آن منطقه بیان می‌شود، تأثیر بسزایی در میزان تراکم لایه اساس دارد؛ به طوری که میزان تراکم با حداقل دما رابطه مستقیم و با حداقل دما رابطه عکس دارد. دلیل این امر را می‌توان این‌گونه بیان کرد که در خصوص

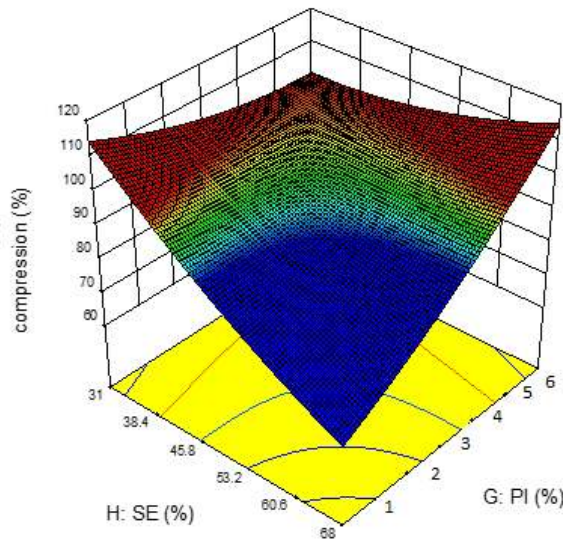


شکل ۶. نمودار تأثیر میزان ماقریزم و مینیمم دمای هوا بر میزان تراکم

۴-۳- تأثیر میزان تمیزی و دامنه خمیری مصالح بر میزان تراکم

به تشخیص لای از رس، طبقه‌بندی خاک‌ها، تعیین عکس‌العمل خاک‌ها به حضور آب، تشخیص تراکم‌پذیری خاک‌ها اشاره کرد (ظاهونی، ۱۳۹۲). همان‌طور که اشاره شد، این پارامتر، شاخصی برای تشخیص میزان تراکم‌پذیری خاک‌ها است؛ درواقع هرچه شاخص خمیری خاکی بیشتر باشد، تراکم‌پذیری آن بیشتر است. لازم به ذکر است که افزایش این پارامتر در صورتی که مصالح در رطوبت بهینه باشد موجب افزایش تراکم و در صورت کاهش میزان رطوبت به نسبت رطوبت بهینه موجب کاهش تراکم می‌گردد.

در شکل ۷ تأثیر هم‌زمان دو پارامتر میزان تمیزی و دامنه خمیری مصالح بر میزان تراکم لایه اساس نشان داده شده است. با توجه به شکل ۷ می‌توان مشاهده کرد که میزان تراکم با مقدار دامنه خمیری رابطه عکس دارد. به طور کلی فاصله بین حد خمیری و حد روانی خاک، با عنوان دامنه یا شاخص خمیری شناخته می‌شود. این شاخص محدوده‌ای از محتوای آب را نمایش می‌دهد که خاک خاصیت خمیری خود را حفظ می‌کند. لازم به ذکر است که شاخص خمیری به میزان رس موجود در خاک وابسته است. از کاربردهای این پارامتر می‌توان



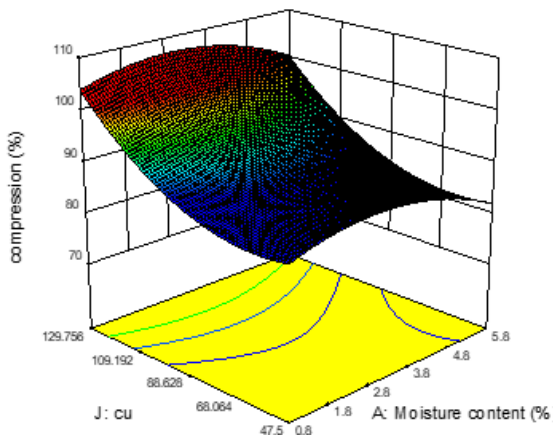
شکل ۷. نمودار تأثیر میزان تمیزی و دامنه خمیری مصالح بر میزان تراکم

اساس، موردنظری قرار گرفت. لازم به ذکر است که هر چه اندازه Cu بیشتر باشد نشان دهنده این است که توده خاک از دانه هایی با اندازه های مختلف تشکیل شده است (امیرافشاری، ۱۳۹۰). شکل ۸ بیانگر تأثیر میزان ضریب یکنواختی بر میزان تراکم است. با توجه به شکل ۸، مقادیر این ضریب با میزان تراکم رابطه مستقیم دارد؛ به طوری که با افزایش مقدار ضریب یکنواختی، میزان تراکم افزایش می باید؛ چراکه همان طور که اشاره شد، با افزایش مقدار Cu، دانه بندی از ذرات خاکی با اندازه های مختلف تشکیل شده و درنتیجه هنگام تراکم بهتر در هم فرو می روند و تراکم بهتر صورت می پذیرد (طاھونی، ۱۳۹۲).

شکل ۷ بیانگر آن است که با کاهش SE، تراکم افزایش می باید؛ در واقع میزان تمیزی مصالح با میزان تراکم رابطه عکس دارد. قاعده ای با افزایش SE، فیلر مصالح کمتر شده و به تبع آن خلل و فرج بیشتر و دانسیته محل کمتر می گردد و تراکم افزایش می باید. لازم به ذکر است که تمیزی بیش از حد مصالح، کمبود بخش ریزدانه، سبب متخلخل شدن دانه بندی و درنتیجه باعث عدم تراکم پذیری مصالح می گردد.

۳-۵- تأثیر میزان ضریب یکنواختی بر میزان تراکم

در این پژوهش ضریب یکنواختی که به صورت نسبت D_{60} به D_{10} تعریف می شود، به عنوان نماینده ای از دانه بندی مصالح



شکل ۸ نمودار تأثیر میزان ضریب یکنواختی بر میزان تراکم

۶-۳- تعیین رابطه میان متغیرهای مستقل و وابسته

وابسته (میزان تراکم لایه اساس) تعیین شد (رابطه ۱). لازم به ذکر است که این رابطه درجه دوم، بهترین رابطه ممکن بین متغیرهای مستقل و وابسته است که نرم افزار پیشنهاد داده است. در جدول ۴ و جدول ۵ به ترتیب اطلاعات آماری و خلاصه اطلاعات تحلیل ANOVA را ارایه می دهند.

در این پژوهش با استفاده از نرم افزار DESIGN EXPERT، رابطه میان پارامترهای مستقل (پارامترهای درصد رطوبت، دانسیته خشک، درصد رطوبت بهینه، ضخامت لایه ای اساس، بیشینه دمای محیط، کمینه دمای محیط، دامنه خمیری، تمیزی مصالح و ضریب یکنواختی دانه بندی مصالح) و پارامتر

$$\begin{aligned}
 \text{Compaction} = & 1132 + 27.22 * M - 1026.85 * D - 80.54 * O + 7.09 * T + 4.56 * T_{\max} + 0.14 * T_{\min} \\
 & + 7.56 * PI + 15.17 * SE - 1.43 * cu - 13.77 * M * D + 2.21 * M * O - 0.077 * M * T - 0.069 * M * T_{\max} \\
 & + 0.067 * M * T_{\min} - 0.108 * M * PI + 0.017 * M * SE + 2.28237E-005 * M * cu + 58.94 * D \\
 & * O - 3.96 * D * T + 1.029 * D * T_{\max} - 2.45 * D * T_{\min} + 5.78 * D * PI - 7.13 * D * SE + 0.187 * D \\
 & * cu + 0.073 * O * T - 0.7878 * O * T_{\max} + 1.13 * O * T_{\min} - 1.56 * O * PI - 0.09 * O * SE + 0.067 * O * cu + 0.017 * T * T_{\max} - 0.0319 * T * T_{\min} - 0.044 * T * PI - 2.93107E-003 * T * SE + 4.60575E-003 * T * cu + 0.046573 * T_{\max} * T_{\min} + 0.09 * T_{\max} * PI - 9.66632E-003 * T_{\max} * SE - 0.024 * T_{\max} * cu - 0.16 * T_{\min} * PI - 0.0129 * T_{\min} * SE + 7.68221E-003 * T_{\min} * cu - 0.29 * PI * SE - 0.052 * PI * cu + 0.017 * SE * cu - 0.74 * M^2 + 226.96 * D^2 - 5.03 * T^2 + 0.046 * T^2 - 0.027 * T_{\max}^2 - 0.02 * T_{\min}^2 + 0.399 * PI^2 + 0.011 * SE^2 + 3.83098E-003 * cu^2
 \end{aligned} \quad (1)$$

T_{Min} : مینیمم دمای هوا محل اجرا
 اساس (Max temperature).
 T_{Max} : ماکزیمم دمای هوا محل اجرا اساس.
 PI : دامنه خمیری مصالح اساس،
 SE : تمیزی مصالح اساس،
 Cu : ضریب یکنواختی مصالح اساس.

M : درصد رطوبت مصالح لایه اساس (Moisture content)
 D: دانسیته خشک آزمایشگاهی مصالح اساس (Dried density)
 O: درصد رطوبت بهینه مصالح اساس (Optimal humidity)
 T: ضخامت لایه اساس (Thickness)

جدول ۴. اطلاعات آماری رابطه پیشنهادی

| | |
|----------------|--------|
| R-Squared | .,۳۳۹۳ |
| Adj R-Squared | .,۱۴۳۳ |
| Pred R-Squared | .,۳۳۸۸ |

جدول ۵. جدول ANOVA رابطه پیشنهادی

| Source | Sum of Squares | df | Mean Square | F Value | p-value Prob > F |
|---------------------------------|----------------|----|-------------|-------------|---------------------|
| Model | ۵۹۳,۴۸ | ۵۴ | ۱۰,۹۹ | ۱,۷۳ | .,۰۰۰۴ |
| A: Moisture content (M) | ۱,۳۸ | ۱ | ۱,۳۸ | .,۲۲ | .,۶۴۱۱ |
| B: Dry density (D) | ۱۱,۷۵ | ۱ | ۱۱,۷۵ | ۱,۸۵ | .,۱۷۵۳ |
| C: Optimum moisture content (O) | .,۳ | ۱ | .,۳ | .,۰۰۴۷ | .,۸۲۹۲ |
| D: Thickness (T) | ۲,۴۷ | ۱ | ۲,۴۷ | .,۳۹ | .,۰۵۳۳۲ |
| E: T_{Max} | .,۵۱ | ۱ | .,۵۱ | .,۰۸ | .,۷۷۷۴ |
| F: T_{Min} | ۱۷,۰۴ | ۱ | ۱۷,۰۴ | ۲,۷۶ | .,۰۹۸۲ |
| G: PI | .,۶۱ | ۱ | .,۶۱ | .,۰۹۶ | .,۷۵۶۹ |
| H: SE | .,۳۲ | ۱ | .,۳۲ | .,۰۰۵۱ | .,۸۲۱۶ |
| J: Cu | ۱۶,۸ | ۱ | ۱۶,۸ | ۲,۶۵ | .,۱۰۵۶ |
| AB | ۴,۷۴ | ۱ | ۴,۷۴ | .,۷۵ | .,۳۸۸۹ |
| AC | ۲۲,۹۲ | ۱ | ۲۲,۹۲ | ۳,۶۱ | .,۰۰۵۹ |
| AD | ۰,۲۹ | ۱ | ۰,۲۹ | .,۸۳ | .,۳۶۲۷ |
| AE | ۳,۰۵ | ۱ | ۳,۰۵ | .,۴۸ | .,۴۸۹ |
| AF | ۲,۷۹ | ۱ | ۲,۷۹ | .,۴۴ | .,۰۵۰۸ |
| AG | .,۳۵ | ۱ | .,۳۵ | .,۰۰۵۴ | .,۸۱۵۹ |
| AH | .,۳۴ | ۱ | .,۳۴ | .,۰۰۵۳ | .,۸۱۸۲ |
| AJ | .,۰۰۰۰۰۳ | ۱ | .,۰۰۰۰۰۳۴۵۸ | .,۰۰۰۰۰۵۴۴۵ | .,۹۹۹۴ |
| BC | ۰,۸۲ | ۱ | ۰,۸۲ | .,۹۲ | .,۳۳۹۵ |
| BD | ۳,۱ | ۱ | ۳,۱ | .,۴۹ | .,۴۸۵۶ |
| BE | .,۰۶ | ۱ | .,۰۶ | .,۰۰۹۴۶۲ | .,۹۲۲۶ |
| BF | .,۴۴ | ۱ | .,۴۴ | .,۰۷۹ | .,۷۹۳۳ |
| BG | .,۷۵ | ۱ | .,۷۵ | .,۱۲ | .,۷۳۱۴ |
| BH | ۲۴,۴۶ | ۱ | ۲۴,۴۶ | ۳,۸۵ | .,۰۵۱۲ |
| BJ | .,۲۷ | ۱ | .,۲۷ | .,۰۰۴۳ | .,۸۳۰۹ |

| | | | | | |
|----|-------|---|-------|-------|--------|
| CD | ۰,۵۹ | ۱ | ۰,۵۹ | ۰,۰۹۳ | ۰,۷۶۰۵ |
| CE | ۱۷,۶۱ | ۱ | ۱۷,۶۱ | ۲,۷۷ | ۰,۰۹۷۶ |
| CF | ۴۸,۱۳ | ۱ | ۴۸,۱۳ | ۷,۵۸ | ۰,۰۰۶۵ |
| CG | ۱۱,۸۳ | ۱ | ۱۱,۸۳ | ۱,۸۶ | ۰,۱۷۴ |
| CH | ۰,۸۱ | ۱ | ۰,۸۱ | ۰,۱۳ | ۰,۷۲۲۱ |
| CJ | ۴,۳۳ | ۱ | ۴,۳۳ | ۰,۶۸ | ۰,۴۰۹۷ |
| DE | ۲,۲۲ | ۱ | ۲,۲۲ | ۰,۳۵ | ۰,۰۵۵۱ |
| DF | ۹,۱۳ | ۱ | ۹,۱۳ | ۱,۴۴ | ۰,۲۳۲ |
| DG | ۰,۸۷ | ۱ | ۰,۸۷ | ۰,۱۴ | ۰,۷۱۱ |
| DH | ۰,۲۳ | ۱ | ۰,۲۳ | ۰,۰۳۶ | ۰,۱۸۴۹ |

ادامه جدول ۵-جدول ANOVA رابطه پیشنهادی

| Source | Sum of Squares | df | Mean Square | F Value | p-value | Significance |
|----------------|----------------|-----|-------------|---------|---------|--------------|
| DJ | ۱,۶۲ | ۱ | ۱,۶۲ | ۰,۲۵ | ۰,۶۱۴۴ | ✓ |
| EG | ۲۰,۶۳ | ۱ | ۲۰,۶۳ | ۰,۴۱ | ۰,۰۵۲۰۷ | ✓ |
| EH | ۰,۷۹ | ۱ | ۰,۷۹ | ۰,۱۳ | ۰,۷۲۴ | ✓ |
| EJ | ۲۸,۹ | ۱ | ۲۸,۹ | ۴,۰۵ | ۰,۰۰۳۴۲ | ✓ |
| FG | ۱۱,۰۸ | ۱ | ۱۱,۰۸ | ۱,۰۸۲ | ۰,۱۷۸۶ | ✓ |
| FH | ۱۰,۶۰ | ۱ | ۱۰,۶۰ | ۱,۰۶۸ | ۰,۰۱۹۶۸ | ✓ |
| FJ | ۲۰,۸۷ | ۱ | ۲۰,۸۷ | ۰,۴۵ | ۰,۰۵۰۲۳ | ✓ |
| GH | ۱ | ۱ | ۱ | ۰,۱۶ | ۰,۷۹۱۲ | ✓ |
| GJ | ۴۴,۸ | ۱ | ۴۴,۸ | ۷,۰۰۵ | ۰,۰۰۰۸۶ | ✓ |
| HJ | ۲۴,۳۹ | ۱ | ۲۴,۳۹ | ۳,۸۴ | ۰,۰۰۰۱۰ | ✓ |
| A ^r | ۴۶,۴۵ | ۱ | ۴۶,۴۵ | ۷,۶۳۲ | ۰,۰۰۰۷۵ | ✓ |
| B ^r | ۰,۹۱ | ۱ | ۰,۹۱ | ۰,۱۴ | ۰,۷۰۰۵۴ | ✓ |
| C ^r | ۱۷,۸۱ | ۱ | ۱۷,۸۱ | ۲,۸۱ | ۰,۰۰۹۵۷ | ✓ |
| D ^r | ۲۷,۰۳ | ۱ | ۲۷,۰۳ | ۴,۲۶ | ۰,۰۰۴۰۰ | ✓ |
| E ^r | ۱۰,۸۵ | ۱ | ۱۰,۸۵ | ۰,۲۹ | ۰,۰۵۹ | ✓ |
| F ^r | ۱,۰۸ | ۱ | ۱,۰۸ | ۰,۲۶ | ۰,۶۰۸ | ✓ |
| G ^r | ۱,۰۳۷ | ۱ | ۱,۰۳۷ | ۰,۲۲ | ۰,۶۴۳۴ | ✓ |
| H ^r | ۸,۰۲۲ | ۱ | ۸,۰۲۲ | ۱,۰۳ | ۰,۲۵۶۶ | ✓ |
| J ^r | ۲۸,۹۸ | ۱ | ۲۸,۹۸ | ۴,۰۶ | ۰,۰۰۳۴ | ✓ |
| Residual | ۱۱۰۰,۶۶ | ۱۸۲ | ۶,۱۵ | | | ✓ |
| Lack of Fit | ۱۱۳۰,۶۶ | ۱۷۶ | ۶,۱۴۲ | ۱,۰۵۴ | ۰,۳۰۸۸ | ✗ |
| Pure Error | ۲۵ | ۶ | ۴,۱۷ | | | ✓ |
| Cor Total | ۱۷۴۹,۱۴ | ۲۳۶ | | | | ✓ |

تراکم با توجه به پژوهش‌های پیشین تعیین شد؛ که این پارامترها شامل درصد رطوبت، دانسیته خشک، درصد رطوبت بهینه، ضخامت لایه اساس، بیشینه دمای محیط، کمینه دمای محیط، دامنه خمیری، تمیزی مصالح و ضریب یکنواختی دانه‌بنده مصالح اساس هستند. سپس پارامترهای مذکور از شیوه‌های آزمایشگاهی سه پروژه‌ی دهاقان، کوهپایه، شهرکرد استخراج گردید و با کمک روش سطح پاسخ و نرم افزار DESIGN EXPERT مورد تجزیه و تحلیل قرار گرفت.

نتایج این پژوهش به شرح زیر است:

بر اساس نتایج حاصل از نرم‌افزار Design Expert، میزان تراکم با افزایش دانسیته خشک آزمایشگاهی و ضخامت لایه، کاهش می‌یابد؛ درواقع می‌توان گفت که میزان تراکم با پارامترهای دانسیته خشک و ضخامت لایه رابطه عکس دارد. علاوه بر این، نتایج بیانگر آن است که پارامترهای حداقل دما، دامنه خمیری و تمیزی با میزان تراکم رابطه عکس دارد؛ چراکه افزایش این پارامترها باعث کاهش میزان تراکم می‌گردد. همچنین میزان تراکم با پارامترهای حداقل دما و ضریب یکنواختی رابطه مستقیم دارد.

علاوه بر این نتایج نشان می‌دهد که افزایش درصد رطوبت تا حدی باعث افزایش میزان تراکم می‌شود.

به کمک رابطه ۱ می‌توان با داشتن مقادیر پارامترهای خصوصیات فنی مصالح سنگی لایه اساس (درصد رطوبت، دانسیته خشک، درصد رطوبت بهینه، ضخامت لایه اساس، بیشینه دمای محیط، کمینه دمای محیط، دامنه خمیری، تمیزی مصالح و ضریب یکنواختی دانه‌بنده مصالح) میزان تراکم لایه اساس را محاسبه و پیش‌بینی کرد.

در جدول ۴، ضریب تشخیص نام دارد که بیانگر مقدار تشابه میان داده‌های آزمایشگاهی و داده‌های پیش‌بینی شده توسط مدل است و هرچه این مقدار به ۱ نزدیک‌تر باشد، مطلوب‌تر است. پارامتر دیگر در جدول ۴ Adj R-Squared است که در محاسبه این پارامتر، نرم‌افزار تأثیر پارامترهایی که معنادار نیستند کمتر می‌کند و همچنین Pred R-Squared نشانگر آن است که این مدل چقدر برای پیش‌بینی پاسخ قوی است. همان‌طور که ملاحظه می‌شود با اینکه مقدار ضریب تشخیص به عدد ۱ نزدیک نیست، اما نرم‌افزار مدل درجه دوم را پیشنهاد داده است؛ چراکه نرم‌افزار علاوه بر بررسی مقدار ضریب تشخیص پارامترهای دیگری را نیز برای ارایه مدل در نظر می‌گیرد. به عنوان مثال یکی از ملاک‌های یک مدل مناسب این است که اختلاف دو پارامتر Pred R-Squared و Adj R-Squared کمتر مساوی ۰/۲ باشد و همچنین مقدار p-value مدل (ارایه‌شده در جدول ۵) کمتر از ۵ درصد باشد و علاوه بر این مقدار Lack of Fit که بیانگر میزان خطای در رابطه است، باید غیرقابل توجه (not significant) باشد که در این رابطه این موارد برقرار است. به طور کلی نرم‌افزار DESIGN EXPERT با توجه به اطلاعات و تحلیل‌های آماری، خود بهترین رابطه ممکن بین پارامترهای مستقل ووابسته را ارائه می‌دهد که در این پژوهش بهترین رابطه ممکن میان پارامتر میزان تراکم و عوامل مؤثر بر آن، یک رابطه درجه دوم است.

۴-نتیجه‌گیری

همان‌طور که اشاره شد، این پژوهش با هدف بررسی تأثیر خصوصیات مصالح لایه اساس بر میزان تراکم آن انجام شده است؛ بدین منظور در این مطالعه ابتدا پارامترهای مؤثر بر

۵-مراجع

روسازی به روش عددی، نهمین همایش قیر و آسفالت ایران. خیری، م.، بلوچ سیرگانی، پ.، (۱۳۹۸)، "اثر پاسخ در برابر بارگذاری و مشخصات مکانیکی مصالح اساس بر عملکرد خستگی روسازی بلوکی بتونی"، سومین کنفرانس ملی رویه‌های بتونی. سیدی مرغکی، م. شاهرخی، ا. و رحیمی بردنجانی، ا.، (۱۳۹۵)، "مقایسه تأثیر دانه بنده و مشخصه‌های فیزیکی مصالح سنگی بر کیفیت لایه‌های روسازی (مطالعه موردی: جنوب کرمان)", هشتاد و پنجمین

احمدی، م.، و میرهاشمی، س.، و صادق نژاد، م.، (۱۳۹۸)، "بررسی همزمانی تأثیر تراکم، رطوبت و ضخامت بر رفتار لایه اساس با استفاده از آزمایش LWD"، مهندسی زیرساخت‌های حمل و نقل، ۵ (۲)، (پیاپی ۱۸)، ص. ۸۹-۱۰۰. امیراشفاری، س.، (۱۳۹۰)، "mekanik خاک"، سری عمران. حیدری فیروزآبادی، ح.، خیری، م.، (۱۳۹۶)، "مطالعه اثر تغییر مشخصات تراکم خاک بستر و اصطکاک بین لایه‌ای بر عکس العمل

- Keller, G., (2015), "Statistics for Management and Economics", Cengage Learning.
- Khabiri, M. M., & Fard, Z. G., (2021), "Application of Mathematical Models for Optimizing Inspection Frequency in Maintenance and Management of Pavement", Journal of Science and Technology, 13(2), pp.38–46.
- Penkov, V. O., Skoryk, O. O., Uzviieva, O. M., Panchenko, V. Y., & Korostelov, Y. M., (2019), "Improvement of the quality of the geodesic support for the reconstruction of the roads", IOP Conference Series: Materials Science and Engineering, 708(1), 12019.
- Rahman, S., Salgado, R., Prezzi, M., & Becker, P. J., (n.d.) (2019), "Improvement of stiffness and strength of backfill soils through optimization of compaction procedures and Purdue University", Joint Transportation Research Program.
- Stability analysis of anisotropic granular base layers in flexible pavement, (2018), M. Asadi and R. S. Ashtiani, 14, pp.183–189.
- Su, N., Xiao, F., Wang, J., & Amirkhanian, S., (2017), "Characterizations of base and subbase layers for Mechanistic-Empirical Pavement Design", Construction and Building Materials, 152, pp.731–745.
- Thai, H. N., Kato, A., Nguyen, H. G., Nguyen, T. D., Tong, T. K., & Uchimura, T., & Kawamoto, K., (2021), "Effects of particle size and type of aggregate on mechanical properties and environmental safety of unbound road base and subbase materials: A literature review", GEOMATE Journal, 20(78), pp.148–157.
- Van Niekerk, A. A., Molenaar, A. A. A., & Houben, L. J. M. (n.d.) (2019), "Effect of material quality and compaction on the mechanical behaviour of base course materials and pavement performance", Bearing Capacity of Roads, Railways and Airfields, pp.1071–1079.
- Van Niekerk, A. A., Van Scheers, J., Muraya, P., & Kisimbi, K., (2000), "The effect of compaction on the mechanical behaviour of mix granulate base course materials and on pavement performance", Heron-English Edition-, 45(3), pp.197–218.
- همایش قیر و آسفالت ایران.
- شریفی، ع. ح. فاطمی عقدا، س. ارومیه‌ای، ع.، (۱۳۸۹)، "پیش‌بینی درصد تراکم خاک‌های ریزدانه در ساختمان سد مخزنی سرایی با استفاده از شبکه عصبی مصنوعی"، زمین‌شناسی مهندسی، ۴ (۲)، ص. ۹۸۷–۱۰۱۰.
- طاحونی، ش.، (۱۳۹۲)، "اصول مهندسی ژئوتکنیک"، پارس آین (شرکت اندیش کاو).
- عاملی، ع.، پروژه کاران، ا. هاشمی، س.، (۱۳۹۷)، "تأثیر استفاده از مصالح بازیافتی در خصوصیات مکانیکی بتن غلتکی"، پژوهشنامه حمل و نقل، ۱۵ (۵۵)، ص. ۲۷۱–۲۹۶.
- غفوری فرد، ز.، (۱۴۰۰)، "بهینه سازی دانه بندی آسفالت متخلخل برای معابر کم عرض در بافت سنتی شهرهای کویری". دانشگاه یزد.
- فتاحی، م. و خبیری، م. ی.، (۱۴۰۰)، "بررسی تاثیر مشخصات سنگدانه بر عملکرد سایش سطحی رو سازی بتن غلتکی"، تحقیقات بتن، ۱۴ (۲)، ص. ۳۵–۵۱.
- سولیزاده، م. و کمرودی، ن.، (۱۳۹۴)، "تأثیر ویژگی‌های مصالح سنگی ثابت نشده بر ضریب نفرذپذیری لایه اساس"، سومین کنفرانس بین‌المللی پژوهش‌های کاربردی در مهندسی عمران، معماری و مدیریت شهری.
- سولیزاده، م. ولی زاده، م. و طاهرخانی، ح.، (۱۳۹۲)، "اثر مصالح سنگی ثابت نشده بر روی رفتار ارجاعی لایه اساس"، هفتمین کنگره ملی مهندسی عمران.
- Fang, M., Park, D., Singuranay, J. L., Chen, H., & Li, Y., (2019), "Aggregate gradation theory, design and its impact on asphalt pavement performance, A review", International Journal of Pavement Engineering, 20(12), pp.1408–1424.
- Gao, B., Yang, C., Zou, Y., Wang, F., Zhou, X., Barbieri, D. M., & Wu, S., (2021), "Compaction Procedures and Associated Environmental Impacts Analysis for Application of Steel Slag in Road Base Layer", Sustainability, 13(8), 4396.
- Hu, W., Shu, X., Jia, X., & Huang, B., (2018), "Geostatistical analysis of intelligent compaction measurements for asphalt pavement compaction, Autom. Constr", 89, pp.162–169.
- Karami, H. R., Keyhani, M., & Mowla, D., (2016), "Experimental analysis of drag reduction in the pipelines with response surface methodology", Journal of Petroleum Science and Engineering, 138, pp.104–112.

Investigating the Effect of Technical Characteristics of Aggregate Materials on the Compaction of the Base Layer by Response Surface Method

Milad Rasti, M.Sc., Grad., Civil Engineering Faculty, Yazd University, Yazd, Iran.

Mohammd Mehdi Khabiri, Associate Professor, Civil Engineering Faculty, Yazd University, Yazd, Iran.

Mojtaba Rajabi Bhaabadi, Assistant Professor, Civil Engineering Faculty, Yazd University, Yazd, Iran.

E-mail: mkhabiri@yazd.ac.ir

Received: September 2022- Accepted: February 2023

ABSTRACT

One of the most fundamental issues in road construction is to increase the density and strength of the layers of stone materials to the desired level. For this purpose, the different layers of the pavement should be compacted to an acceptable extent by means of asphalt rollers. On the other hand, the performance of the pavement aggregate layers, which is highly effective on the performance of the entire pavement, is influenced by their compaction. Therefore, it is very important to investigate the factors affecting the field compaction of the pavement layers including the base layer. As a result, this research aims to examine the effect of the characteristics of the base layer materials on its relative compaction using the response surface methodology. For this purpose, the characteristics of stone materials including moisture content, dry density, optimal moisture content, thickness of the base layer, maximum ambient temperature, minimum ambient temperature, the plasticity index, the sand equivalent value and uniformity coefficient were extracted from the laboratory sheets related to Dahaghan, Kohpayeh and Shahrekord projects and then analyzed using Design Expert and SPSS software. The results show that the relative compaction has an inverse relationship with laboratory dry density, layer thickness, maximum temperature, the plasticity index and the sand equivalent value. Furthermore, we show that there exists direct relationship between relative compaction and the minimum temperature and the uniformity coefficient.

Keywords: Base Layer, Density, Material Properties, Pavement Performance, Response Surface Methodology